

**TRANSIL**

TRANSIENT VOLTAGE SUPPRESSOR DIODES ESPECIALLY USEFUL IN PROTECTING INTEGRATED CIRCUITS, MOS, HYBRIDS AND OTHER VOLTAGE-SENSITIVE SEMICONDUCTORS AND COMPONENTS

- HIGH SURGE CAPABILITY: 700 W/1 ms expo.  
8,5 kW/8-20  $\mu$ s expo.
- VERY FAST CLAMPING TIME: 1  $\mu$ s for unidirectional types  
5 ns for bidirectional types
- LARGE VOLTAGE RANGE: 10V → 110V

DIODES ECUREUSES ADAPTEES A LA PROTECTION DES CIRCUITS INTEGRES, MOS, CIRCUITS HYBRIDES, AUTRES SEMICONDUCTEURS ET COMPOSANTS SENSIBLES AUX SURTENSIONS.

- GRANDE CAPACITE DE SURCHARGE: 700 W/1 ms expo.  
8,5 kW/8-20  $\mu$ s expo.
- TEMPS D'ECRETAGE TRES RAPIDE:  
1  $\mu$ s pour types unidirectionnels  
5 ns pour types bidirectionnels
- GAMME DE TENSION ETENDUE: 10V → 110V

$P_p$ : 700 W/1 ms expo.  
8,5 kW/8-20  $\mu$ s expo.

$V_{RM}$ : 10 V → 110 V

Type number → Unidirectional types

Type number + suffix B → Bidirectional types

Case : F128 plastic (CB-210)  
Boitier

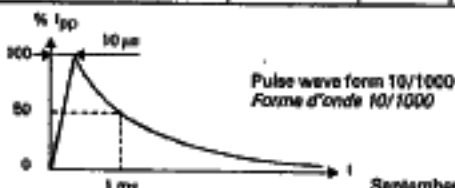


**ABSOLUTE RATINGS (LIMITING VALUES)**  
**VALEURS LIMITEES ABSOLUES D'UTILISATION**

Peak pulse power for 1 ms exponential pulse Puissance de crête pour une onde exponentielle de 1 ms	$T_J$ initial = 25°C (cf note 1)	$P_p$	700	W
Power dissipation on infinite heatsink Dissipation de puissance sur radiateur infini	$T_{amb} = 50^\circ\text{C}$	P	2	W
Non repetitive surge peak forward current for unidirectional types Courant direct non répétitif de surcharge accidentelle pour types unidirectionnels	$T_J$ initial = 25°C t = 10 ms	$I_{FSM}$	120	A
Storage and junction temperatures Températures de jonction et de stockage		$T_J$ $T_{stg}$	150 -55 → +150	°C °C
Maximum lead temperature for soldering during 10 s at 4 mm from case Température maximum de soudure des connexions pendant 10 s à 4 mm du boîtier		$T_L$	230	°C

Junction - connections thermal resistance on infinite heatsink ( $L_{lead} = 10$ mm) Résistance thermique jonction - connexions sur radiateur infini ( $L_{conex.} = 10$ mm)	$R_{th(j-c)}$	80	°C/W
---------------------------------------------------------------------------------------------------------------------------------------------------------------------------------	---------------	----	------

Note 1: For surges upper than the maximum values, the diode will present a short-circuit anode-cathode.  
Pour des surcharges supérieures aux valeurs maximales, le diode présentera un court-circuit anode-cathode.



50, rue Jean-Pierre Timbaud - B.P. 5  
F - 92403 Courbevoie Cedex FRANCE  
Tél. : (1) 780 90 01 Telex : 610580 F

**ELECTRICAL CHARACTERISTICS**  
**CARACTERISTIQUES ELECTRIQUES**

Stand-off voltage :  $V_{RM}$  / Tension de veille :  $V_{RM}$       Breakdown voltage :  $V_{(BR)}$  / Tension d'avalanche :  $V_{(BR)}$       Clamping voltage :  $V_{(CL)}$  / Tension d'écrêtage :  $V_{(CL)}$   
Peak pulse current :  $I_{PP}$  / Courant de crête :  $I_{PP}$       Temperature coefficient of  $V_{(BR)}$  :  $\alpha_T$  / Coefficient de température de  $V_{(BR)}$  :  $\alpha_T$       Capacitance :  $C$  / Capacité :  $C$

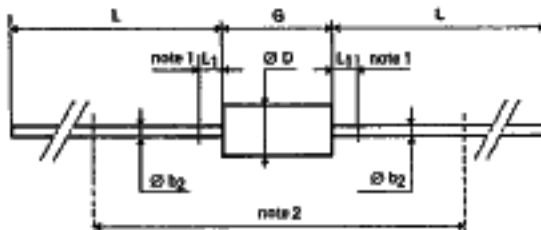
Clamping time (0 Volt to  $V_{(BR)}$ ) :  $t_{clamping} < 1 \mu s$  for unidirectional types  
Tamps de réponse (0 Volt à  $V_{(BR)}$ ) :  $t_{clamping} < 5 ns$  for bidirectional types

Types		$I_{RM}$ @ $V_{RM}$		$V_{(BR)}$ * @ $I_R$			$V_{CL}$ @ $I_{PP}$ max 1 ms expo		$V_{CL}$ @ $I_{PP}$ max 8/20 $\mu s$ expo		$\alpha_T$ max	$C^{**}$ typ $V_R = 0 V$ $f = 1 MHz$	
Unidirectional	Bidirectional	( $\mu A$ )	(V)	min.	nom.	max.	(mA)	(V)	(A)	(V)	(A)	(10 <sup>-4</sup> /°C)	(pF)
BZW07-10	BZW07-10B	5	10	15	16	20	5	25	30	32	265	8,4	3600
BZW07-27	BZW07-27B	5	27	29,6	36	43,8	5	53	13	68	125	9,8	1400
BZW07-43	BZW07-43B	5	43	50	62	75	5	30	8	115	74	10,3	850
BZW07-110	BZW07-110B	5	110	130	160	200	5	235	3	305	28	10,8	400

\* Pulse test / Mesure en impulsion :  $t_p < 50 ms$   $\delta < 2 \%$       \*\* Divide these values by 2 for bidirectional types / Diviser ces valeurs par 2 pour les types bidirectionnels

For bidirectional types, electrical characteristics apply in both directions.  
Pour les types bidirectionnels, les caractéristiques électriques sont applicables dans les 2 sens.

**CASE DESCRIPTION**  
**DESCRIPTION DU BOITIER**



Ref.	Millimètres		Inches	
	Min.	Max.	Min.	Max.
∅ b <sub>2</sub>	0,76	0,86	0,029	0,034
∅ D	2,85	3,05	0,118	0,120
G	6,05	6,35	0,238	0,250
L	26	—	1,024	—
L <sub>1</sub>	—	1,27	—	0,050

Code France : F126

- Notes**
- The lead diameter  $\varnothing b_2$  is not controlled over zone  $L_1$ .  
Zone à l'intérieur de laquelle le  $\varnothing b_2$  n'est pas contrôlé.
  - The minimum axial length within which the device may be placed with its leads bent at right angles is 0,59" (15mm).  
Longueur minimale du dispositif avec ses sorties plées à angle droit : 15mm (0,59").

Cooling method : by convection (method A).  
Mode de refroidissement : par convection (mode A).  
Marking : type number (white band indicates cathode for unidirectional types)  
Marquage : n° du type (bande blanche côté cathode pour types unidirectionnels)  
Weight : 0,4g  
Masse

59C 02657 DT-11-23

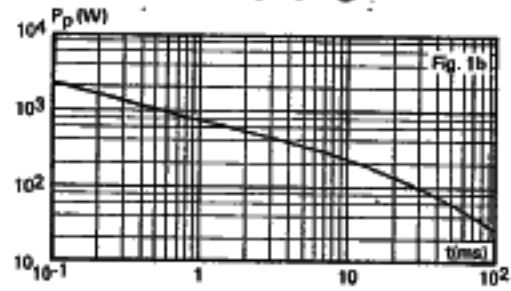
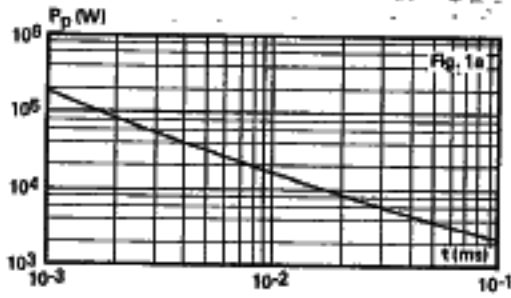


Fig. 1a-1b.— Peak pulse power versus exponential pulse duration.

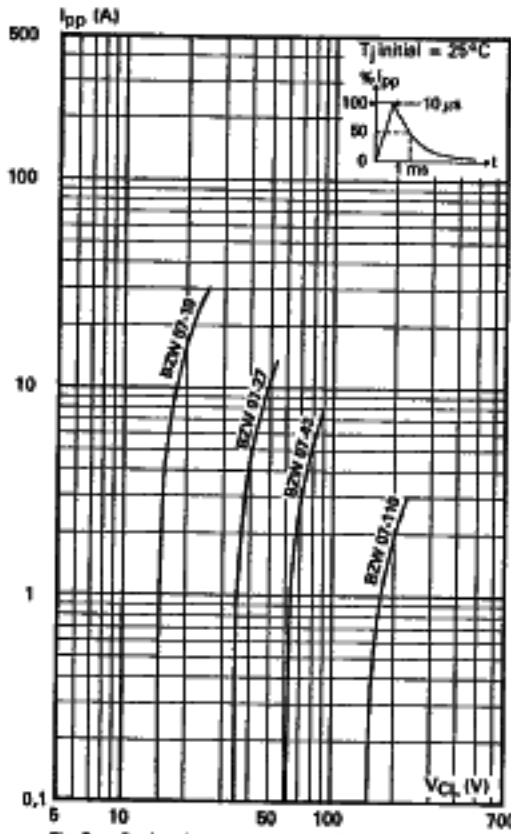


Fig. 2 — Peak pulse current versus clamping voltage (exponential waveform  $t = 1$  ms).

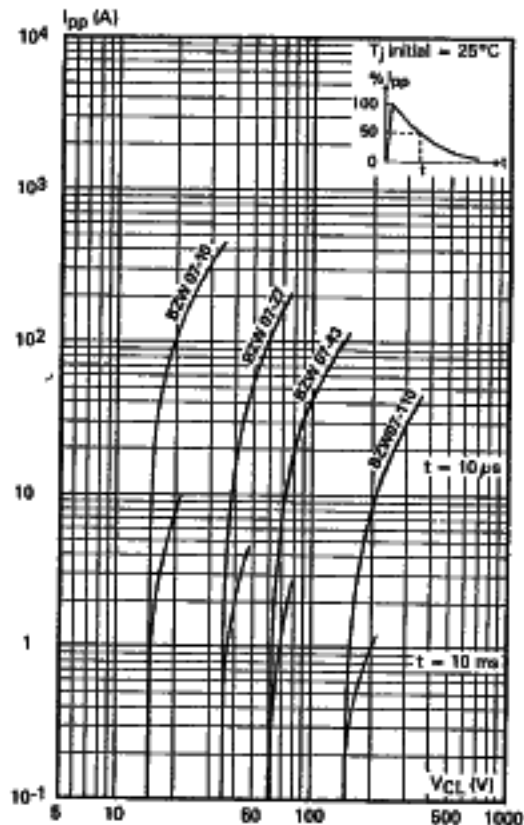


Fig. 3 — Peak pulse current versus clamping voltage (exponential waveform  $t = 10 \mu s$  and  $10$  ms).

Note: The curves of figures 2 and 3 are specified for a junction temperature of 25°C before surge. The given results may be extrapolated for other junction temperatures by using the following formula:

$$\Delta V_{(BR)} = \alpha T_{(BR)} \times [T_j - 25] \times V_{(BR)}$$

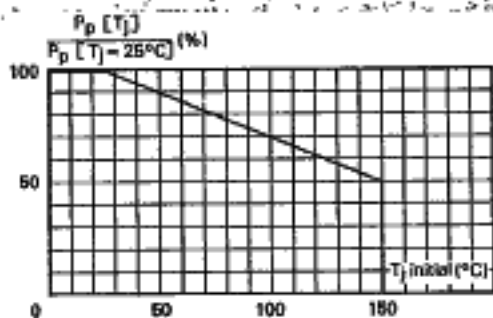


Fig. 4 - Allowable power dissipation versus junction temperature.

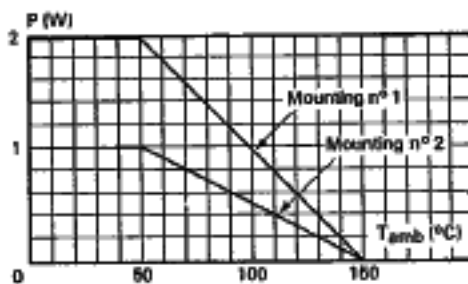


Fig. 5 - Power dissipation versus ambient temperature.

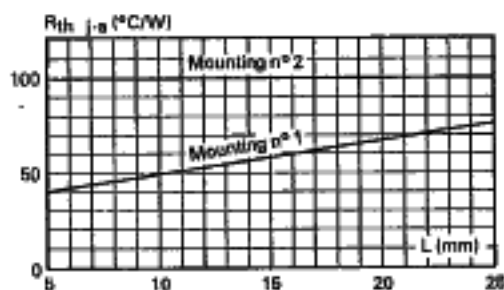


Fig. 6 - Thermal resistance junction-ambient versus lead length.

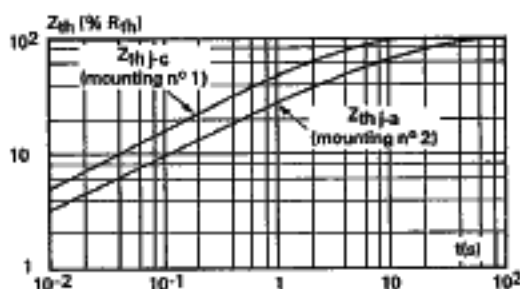


Fig. 7 - Transient thermal impedance junction-connections for mounting n° 1 and junction-ambient for mounting n° 2 versus pulse duration (L = 10 mm).

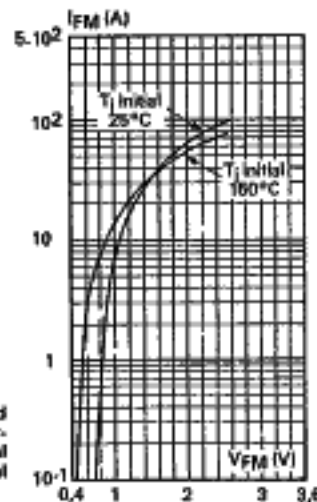
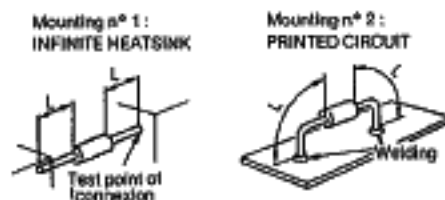


Fig. 8 - Peak forward current versus peak forward voltage drop (typical values) for unidirectional types.

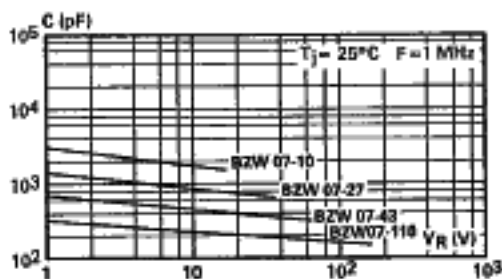


Fig. 9 - Capacitance versus reverse applied voltage for unidirectional types (typical values).

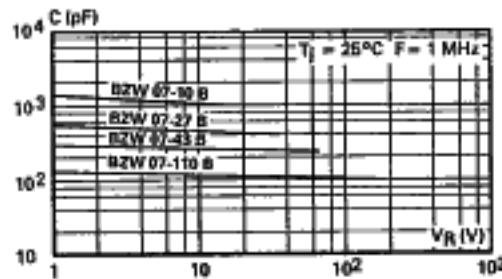


Fig. 10 - Capacitance versus reverse applied voltage for bidirectional types (typical values).